UNIVERSIDAD NACIONAL AUTONOMA DE MEXICO



PARAMETROS SEMI-EMPIRICOS EN SISTEMAS CON ELECTRONES

PARAMETROS PARA LOS GRUPOS METOXI Y ETILO

FERNANDO ANGEL GAYTAN MACIAS

Q U I M I C O





UNAM – Dirección General de Bibliotecas Tesis Digitales Restricciones de uso

DERECHOS RESERVADOS © PROHIBIDA SU REPRODUCCIÓN TOTAL O PARCIAL

Todo el material contenido en esta tesis esta protegido por la Ley Federal del Derecho de Autor (LFDA) de los Estados Unidos Mexicanos (México).

El uso de imágenes, fragmentos de videos, y demás material que sea objeto de protección de los derechos de autor, será exclusivamente para fines educativos e informativos y deberá citar la fuente donde la obtuvo mencionando el autor o autores. Cualquier uso distinto como el lucro, reproducción, edición o modificación, será perseguido y sancionado por el respectivo titular de los Derechos de Autor.

H.E. 178

CLAS. Yesis ADQ. 1977 FECHA PROC. 47 170



Jurado Asignado Según el Tema.

PRESIDENTE DRA. ROCIO POZAS HORCASITAS

VOCAL DRA. SARA MEZA-HÖJER

SECRETARIO DR. GERMUND HÖJER

ler. SUPLENTE M. EN C. ANDONI GARRITZ RUIZ

2ndo. SUPLENTE DR. JOSE LUIS GAZQUEZ MATEOS

Sitio Donde se Desarrolló el Tema:

DEPARTAMENTO DE QUIMICA TEORICA

DIVISION DE ESTUDIOS SUPERIORES

FACULTAD DE QUIMICA, U.N.A.M.

Sustentante:

FERNANDO ANGEL GAYTAN MACIAS

- Affantiger

Asesor del Tema

DRA. SARA MEZA-HÖJER

Swam di Sij

A mis Padres

FERNANDO Y MA. DE LOS ANGELES

con el cariño con que me han formado

A mis Hermanos

JORGE Y YOLANDA

con la ternura que nos ha unido

A mis Abuelos
FERNANDO Y ESPERANZA
con todo mi cariño.

A mis TIOS

con admiración y respeto.

A GINA con el afecto de siempre.

A mis PRIMOS

con la felicidad

de momentos compartidos.

A mis COMPAÑEROS y AMIGOS

con la estimación

que me han brindado.

Deseo, de una manera muy especial, agradecer a la Dra. Sara Meza-Höjer y al Dr. Germund Höjer, la confianza y amistad que me han brindado, así como la guía que me proporcionaron para el desarrollo del presente trabajo.

Parte de este trabajo fue aceptado para su publicación

en

ACTA CHEMICA SCANDINAVICA

INDICE

			Págins
I	Int	croducción.	1
	i)	Efecto Inductivo y Resonante.	3
	ii)	Espectro de Benceno y sus Derivados	
		en el U.V.	7
i	ii)	Potenciales de Ionización.	14
II	Mét	odo de Cálculo.	16
III	21		
IV	Res	ultados y Discusión.	23
	i)	Potenciales de Ionización.	24
	ii)	Espectro Electrónico.	28
٧	Con	clusiones.	34
VI	Bib	liografía.	36
	i)	Obras Consultadas.	39

I .- INTRODUCCION

La creciente necesidad que hoy en día se tiene, dentro del campo de la Química Teórica, en realizar cálculos de moléculas complejas, ha hecho que se desarrollen diversos métodos de aproxima - ción; como lo es el método de Pariser, Parr y Pople (1-3) y la modificación a éste, propuesta por Roos y Skancke (4).

El presente trabajo es la continuación de una serie de investigaciones realizadas con la modificación de Roos y Skancke, y cuyo objeto es determinar, semi-empíricamente, los parámetros de los grupos metoxi y etilo; cuya importancia primordial se funda en el hecho de encontrarse presentes en moléculas de interés biológico, como por ejemplo, las Porfirinas.

Para la determinación de estos parámetros, fueron analizados los siguientes aspectos:

a) Puesto que los valores para los parámetros de los gru-

pos metilo e hidroxi son conocidos (15,19), y la diferencia entre_ellos y los que se desea determinar es el reemplazo de un hidrógeno por un -CH₃; se pueden tomar los ya conocidos como base, observando el Efecto Inductivo y Resonante que presenta el grupo metilo y de este modo, saber en que sentido los parámetros originales (metilo e hidroxi) deberán modificarse.

- b) La molécula de Benceno, se usa como modelo para estu diar el corrimiento de las bandas en su espectro de Ultra-Violeta_
 por efecto de la sustitución de los grupos, cuyos parámetros se _
 desea determinar.
- c) Los valores de los Potenciales de Ionización experimentales para diferentes moléculas conteniendo estos grupos, como por ejemplo, etilbenceno, anisol, y otros, se usan como términos de comparación.

Los puntos mencionados en los incisos a), b), c), fueron _ básicos para la realización del presente trabajo, de ahí la necesidad de discutir ciertos aspectos referentes a ellos.

I. i) EFECTO INDUCTIVO Y RESONANTE

El Efecto inductivo puede definirse como una acción electrostática transmitida entre cadenas de átomos, provocada por iones, átomos o grupos de átomos, que modifican la reactividad o propiedades de una molécula determinada.

Así, este efecto no sólo puede ser provocado por especies_eléctricamente cargadas, sino también por la presencia de dipolos_formados, por ejemplo, por la sustitución de un átomo electronegativo en lugar de un hidrógeno, lo que causa un efecto similar a la presencia de un átomo cargado positivamente.

En el caso de grupos funcionales como -NO2, -CN, etc., la inducción provocada se explica por la habilidad que tienen ciertos de sus átomos para atraer electrones, y por la formación, mediante resonancia, de una especie con carga positiva formal (Figura Nol).

Para el grupo metilo, al igual que en los alquilos, se ha

comprobado, experimentalmente, que es un atractor de electrones dé bil, en relación al átomo de hidrógeno. Así, la sustitución de un hidrógeno por el grupo metilo, produce un efecto contrario al que ocasiona la sustitución por un grupo del tipo -CN, -NO₂, Haló -geno, etc.

Por convención, se ha adoptado clasificar a los grupos que poseen una habilidad mayor que el átomo de hidrógeno para atraer _ electrones, con un Efecto Inductivo Negativo (-I) y a grupos que _ son atractores de electrones débiles, como el grupo metilo, con un Efecto Inductivo Positivo (+I).

El Efecto Resonante, o Efecto de la Conjugación, es de suma importancia, ya que el solo conocimiento del efecto inductivo para el grupo metilo, no basta para predecir su influencia en la sustitución, sino también es necesario conocer que clase de Efecto Resonante presenta.

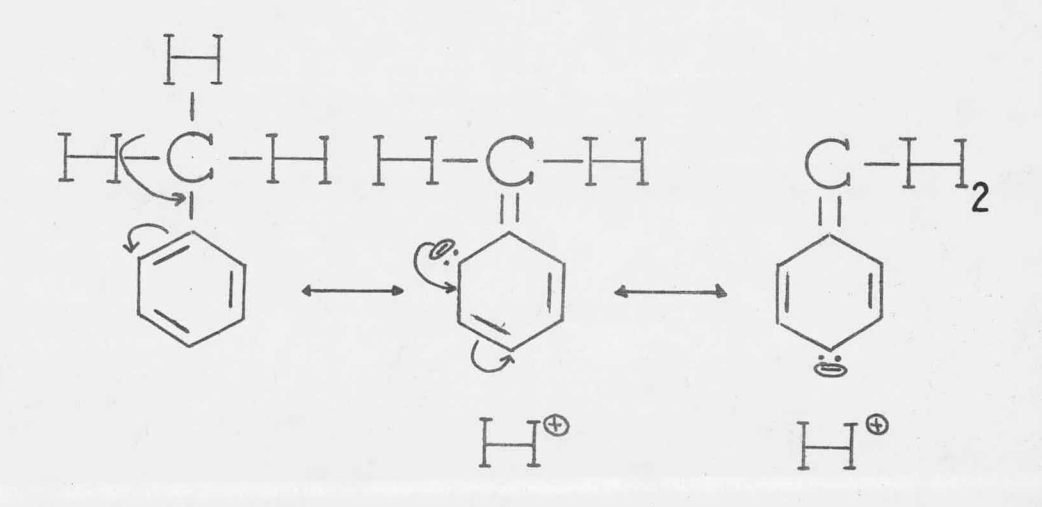
En analogía con la clasificación del efecto inductivo, se ha designado con un Efecto Resonante Positivo (+R), a aquellos grupos, que por resonancia suplen la densidad electrónica a un sistema conjugado; y con un Efecto Resonante Negativo (-R), a aquellos que retiran la densidad electrónica del mismo sistema.

Observando las formas resonantes del grupo metilo con un _sistema conjugado (Figura No 2), podemos asignar a éste, un Efecto Resonante Positivo.



$$-C = N \longrightarrow -C = N$$
:

Figura No 1



I. ii) ESPECTRO DE BENCENO Y SUS DERIVADOS EN EL U.V.

a) Espectro de Benceno y Nomenclatura.

El benceno, en su espectro de U.V. (Figura No 3), exhibe _ tres sistemas de absorción originados por las transiciones del estado basal $^{1}A_{1g}$ a los estados exitados $^{1}B_{1u}$ y $^{1}E_{1u}$.

Existen varios tipos de nomenclatura para describir los __
tres grupos de bandas que se observan en el espectro del benceno __
y sistemas aromáticos cata-condensados (5), siendo la más acepta -ble, la propuesta por Platt (6), que designa los sistemas de ban -das de la manera siguiente:

El grupo de bandas de baja intensidad (Figura No 3), situa do en 2600 A y asociados con la transición simétricamente no permitida ${}^{1}B_{2u}$ —— ${}^{1}A_{1g}$, se le designa como ${}^{1}L_{b}$ —— ${}^{1}A_{1g}$; el sistema de intensidad media atribuido a la transición prohibida simétrica—

mente 1 B_{1u} \longleftarrow 1 A_{1g} situado en 2050 Å como 1 L_a \longleftarrow 1 A_{1g} y al sistema de intensidad más alta localizado a una longitud de onda de onda de 1850 Å e identificado con una transición 1 E_{1u} \longleftarrow 1 A_{1g}? permitida por simetría, so le denomina 1 B_{a,b} \longleftarrow 1 A_{1g} (o simplemente 1 B).

b) Sustitución en el Anillo Bencénico.

La introducción de sustituyentes en el anillo bencénico, no modifica radicalmente su espectro de U.V. con la aparición de bandas prominentes que no pudieran ser observadas en su espectro original sino por el contrario, conserva los tres sistemas básicos de bandas ($^{1}L_{b}$, $^{1}L_{a}$ y $^{1}B_{a,b}$) descritos con anterioridad; los cuales se alteran únicamente en su posición e intensidad, aumentando o disminuyendo en razón de los diferentes efectos y características de los sustituyentes; efectos que se analizan entonces, como una perturbación del anillo bencénico.

Las variaciones observadas, se atribuyen a perturbaciones_
originadas por el efecto inductivo y resonante de los sustituyen tes (7-10) sobre el anillo bencénico, aunque aparentemente, el _
efecto resonante modifica más el espectro que el efecto induc tivo (7,9).

El sistema para el cual se tienen mayor número de datos, — es el 1 L_b (2600 Å), que es inducido vibracionalmente y cuya variación se mide con referencia a la transición o-o situada en 2642 Å (Figura No 3) ó 37850 cm $^{-1}$, en solvente de hidrocarburo alifático. Para el sistema 1 L, que contiene una estructura vibracional pobre

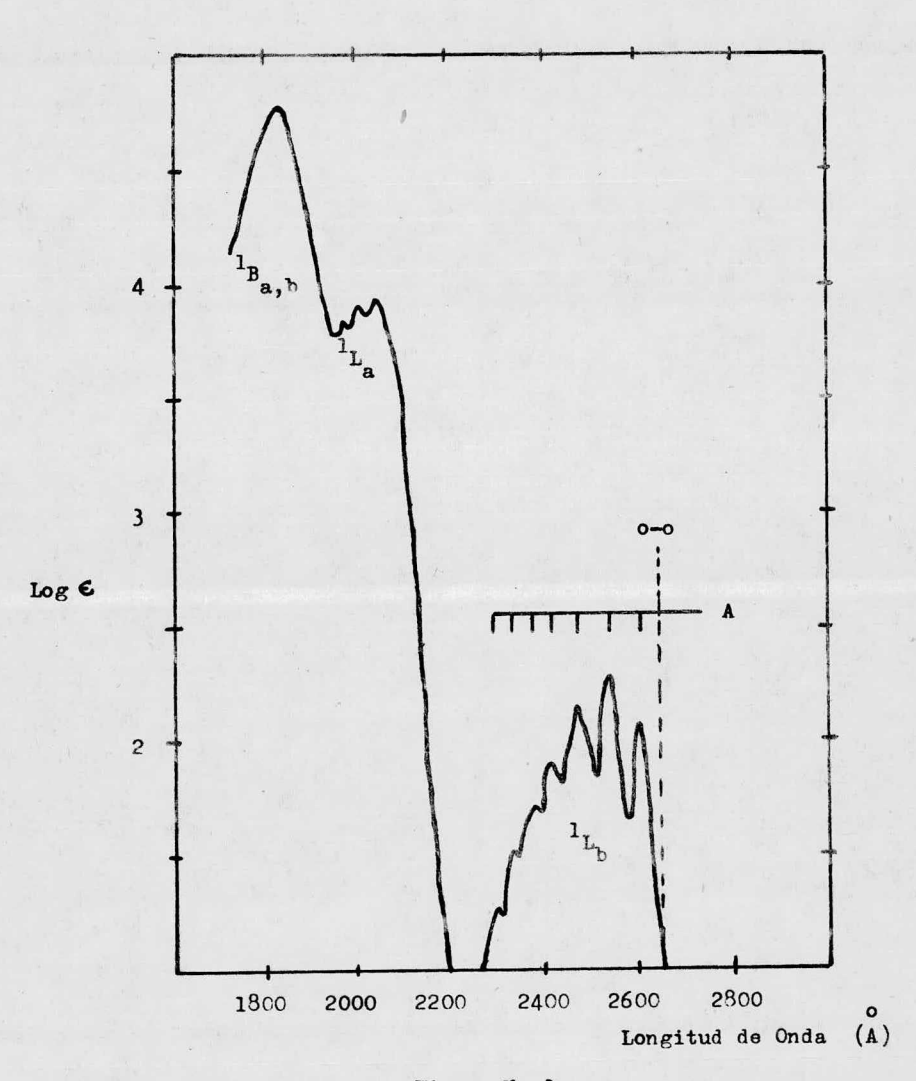


Figura No 3

Espectro de Absorción de Benceno en Heptano o Isooctano.

(Referencia 37)

las variaciones de frecuencia se miden siempre con respecto al mismo máximo de la curva de absorción. El punto escogido es aquel en el cual el log $\mathbf{E} = 3.5$ y localizado en 2110 Å (47600 cm⁻¹) para benceno en heptano (11). En el sistema $^{1}B_{a,b}$, que consta básica mente de una sola inflexión, se usa el máximo de ésta (situado en 56250 cm⁻¹ para benceno en vapor y a 54400 cm⁻¹ en heptano, Referencias 11-12) para estudiar su corrimiento.

La Tabla 1 nos proporciona los valores experimentales obtenidos para el ΔV en cm⁻¹ de algunos bencenos monosustituidos. Prácticamente, todos los sustituyentes producen un efecto batocrómico en el sistema 1L_b , lo que se traduce en un ΔV negativo.

Para nuestro fin, los valores más importantes, son los obtenidos para la sustitución de un hidrógeno del anillo bencénico por los grupos -OH, -OCH3, -CH3 y -CH2-CH3, que son discutidos a continuación.

La sustitución de un grupo oxhidrilo en el benceno, provoca un cambio batocrómico e intensificación de las bandas, originados por la presencia de los pares electrónicos libres del oxíge -no (13 a). La sustitución, en el -OH de su hidrógeno por un grupo
metilo, aumenta el efecto batocrómico.

Cuando el sustituyente en el anillo bencénico es un metilo se produce también un cambio batocrómico del sistema $^{1}L_{b}$ ($-\Delta V_{\pm}$ 605 cm $^{-1}$) e intensificación de las bandas. Si el grupo sustituyente es un etilo, el efecto batocrómico observado, es menor ($-\Delta V$ = 557 cm $^{-1}$) que para el caso del metilo. Ambos efectos se atribuyen, en este caso, a la hiperconjugación de los grupos alquilos (13 b).

Los incrementos de frecuencia de algunos bencen-derivados, para los sistemas $^{1}L_{a}$ y $^{1}B_{a,b}$ con un posible error de 100 cm $^{-1}$, se resumen en la Tabla 2.

al igual que para el sistema ¹L_b, se observa también — el efecto batocrómico de los sustituyentes sobre el grupo de ban — das ¹L_a y ¹B_{a,b}, efecto que concuerda con los argumentos expuestos para el sistema ¹L_b. Es de notar, que paralelamente a la mayoría de los grupos, en el caso de los sustituyentes -OH, -CH₃, -OCH₃ y -CH₂-CH₃, parece existir un efecto batocrómico mayor sobre el sistema ¹L_b, aunque también existen evidencias de que el desplazamien to es constante para ambos sistemas (7).

Sustituyente	Medio	- ∆V (cm ⁻¹)	
Ninguno	Vapor	0	
	Iso	0	
- F	Vapor	270	
	Iso	. 270	
- C1	Vapor	1037	
,	Iso	1030	
-ОН	Vapor	1740	
	Iso	1800	
-осн ₃	Hexano	1850	
NU	Vapor	4055	
-NH ₂	Iso	4000	
	Vapor	605	
-сн3	Iso	610	
-CH2-CH3	Iso	550	

Tabla 1. Cambios de Frecuencia para el Sistema ¹L_b.

Datos obtenidos de: Petruska, J.; J. Chem. Phys.;

34, No 4, 1120-36, (1961).

Sustituyente	-00	(cm ⁻¹)
	l _L a	1 _B
-F	200	-300
-C1	2500	1700
-ОН	2100	1700
-осн ₃	3400	
-СН3	1400	1400

Tabla 2. Cambios de Frecuencia para los Sistemas ¹L_a y ¹B_{a,b} (en Hexano, Heptano, o Isooctano). Ref. (37).

I. iii) POTENCIALES DE IONIZACION

Algunos potenciales de ionización empleados en este trabajo, fueron determinados espectroscópicamente (Potencial de Ionización Adiabático) y otros por los métodos de Electro-impacto y Foto
ionización (Potencial de Ionización Vertical), de aquí la importan
cia de analizar la diferencia existente entre ellos.

a) Método Espectroscópico.

En la determinación de los potenciales de ionización por __
el método Espectroscópico, éstos se obtienen del límite de la se rie de Rydberg en las bandas del espectro; cuando se encuentra que
este límite corresponde a transiciones entre el nivel cero vibra cional de los estados electrónicos basales de la molécula y el __
ión, el potencial resultante es conocido como Potencial de Ionización Adiabático.

b) Método de Electro-impacto y Fotoionización.

Consisten en la colisión de un fotón o electrón, con suficiente energía, sobre una molécula, la cual queda ionizada. En es te caso, hay un cambio sólo en la energía potencial del sistema y la transición puede ser descrita como una transición vertical del estado basal del ión producido. El Potencial de Ionización obtenido mediante estos métodos (electro-impacto y fotoionización) se conoce con el nombre de Potencial de Ionización Vertical.

II .- METODO DE CALCULO

El método utilizado para la determinación sistemática de _
los parámetros en algunos grupos químicos, dentro del método PPP,
fue iniciado por Roos y Skancke (4), basándose en un análisis de _
la aproximación ZDO realizada por Fischer-Hjalmars (14). En vir tud del éxito obtenido en su determinación y aplicación, este trabajo se extendió para incluir varios heteroátomos y sustituyentes_
en sistemas conjugados (15-26). Más tarde, Roos (27-28) generalizó el método para complejos metálicos y Sundbom y Henriksson lo
aplicaron a la interpretación de espectros electrónicos de complejos organometálicos (cobre y fierro) con muy buenos resul
tados (29-31).

En las referencias (15) y (19), los grupos metilo e hidro xi se parametrizaron. El conocimiento de los parámetros de estos grupos fue de gran importancia, como se verá más adelante.

Para incluir los grupos metoxi y etilo en este método, existen dos diferentes caminos a seguir: se puede intentar cons - truir ambos parámetros con los ya existentes para -CH₃ y -OH, sólo que adicionando los grupos faltantes; o bien, tratar cada uno de ellos como si fueran grupos completos. En el primer caso, los grupos contribuirían con cuatro electrones-pi al sistema. Analizando el camino seguido por Roos para introducir el grupo metilo (15), es obvio que los dos electrones-pi se encuentran en un orbital:

$$\chi = a_1 c_1 + a_2 (2h_1 - h_2 - h_3)$$

y por lo tanto, esta posibilidad se viene abajo para el caso del _
grupo etilo. Se realizaron algunos trabajos orientados en este _
sentido para el grupo metoxi, pero resultaron negativos.

La segunda alternativa, tratarlos como grupos completos _ que contribuyen con dos electrones-pi, es más interesante desde el punto de vista químico. El potencial de ionización experimental y el espectro de U.V. de bencenos sustituidos, muestran una fuerte _ similitud entre la sustitución metílica y etílica y entre la hidro xílica y metoxílica. El intercambio de un átomo de hidrógeno por un grupo -CH3, conduce a pequeñas modificaciones del efecto inductivo y resonante del grupo original.

Fischer-Hjalmars (14), mostró en un examen crítico de las aproximaciones introducidas en el método PPP, que en la base de los orbitales ortogonalizados, el parámetro del Core Wµ es localal primer orden en la superposición, mientras que las integrales Cµvy Tµv son locales al segundo orden (se usa la referencia 4 para la notación). Por esta razón, Roos y Skancke hacen Wµ depen

diente de los vecinos más cercanos, transfiriendo directamente los otros parámetros. En la discusión de los diferentes parámetros, _ se mantuvo X para el orbital-pi del sustituyente en cuestión.

Para obtener los parámetros del grupo $-00H_3$ partiendo del grupo -0H, y del etilo usando como base el metilo, el primer paso_a seguir es la reoptimización de W_X . La integral de un centro_ X_X se estimó previamente a partir de datos del espectro atómico o de la forma supuesta para X. En este caso es muy difícil decir cómo se modifica X por el intercambio de un átomo de hidrógeno _ por un grupo metilo en el sustituyente (este problema se analizará más tarde). Los experimentos realizados con estos parámetros mos traron que los resultados son poco sensibles a variaciones razonables en el valor de X_X .

Las integrales de dos-centros χ_{C} y χ_{C} se obtuvieron—en trabajos anteriores por ajuste a datos experimentales en algunas moléculas patrón. Para el presente caso, no se tienen sufi —cientes datos para realizar un ajuste por el método de mínimos —cuadrados para χ_{χ} , $\chi_{\chi_{C}}$ y $\chi_{\chi_{C}}$. Sin embargo, $\chi_{\chi_{C}}$ son—locales al segundo orden y no muestran variaciones por un cambio —en las cercanías de χ , a menos que éste sea fuertemente afectado—por este cambio, por lo que, al experimentar con estos dos parámetros, los resultados varían muy poco.

Por último, Δ W_C(X) que es la corrección de W_C debida a X como un vecino, no muestra dependencia sobre cambios en la vecin dad del "otro lado" de X . Este análisis es bastante aceptable para el caso hidroxi-metoxi, como muestran los resultados de la

siguiente sección.

mentalmente se ha encontrado que el etilbenceno, presenta un potencial de ionización más bajo y un cambio batocrómico más pequeño de la banda ¹L_b con respecto al benceno, comparado con el metilbenceno. Aparentemente el método no puede reproducir ambas propiedades al mismo tiempo. Se discutirán algunos puntos relacionados con este problema. Disminuyendo el valor absoluto de Wx, baja el potencial de ionización, pero al mismo tiempo se incrementa el cambio batocrómico. La primera observación que se desea hacer, es que el método da una muy baja energía de transición para la banda ¹L_b en el benceno, 39.2 kK, comparada con el valor experimental de 39.5 kK. Roos usó etilenos metil-sustituidos para determinar los parámetros del grupo metilo.

La energía calculada para la banda ¹L_b en tolueno, corresponde bastante bien con el valor observado. Esto significa, sin embargo, que el cambio batocrómico calculado para el tolueno, (y también para los otros bencenos metil sustituidos) es muy peque — ño, si tomamos el espectro calculado para el benceno como están dar. En este sentido, el valor obtenido para etilbenceno es me jor, a pesar de que el valor absoluto de la energía de transición no es muy cercano al experimental.

Examinando la forma sugerida para el orbital-pi del grupo_
metilo se podría suponer que la sustitución de uno de los hidrógenos por un -CH3, afectaría en una mayor extensión que en el caso _
del hidroxi-metoxi donde el orbital-pi es el orbital 2pz del oxí -

geno. En el caso del grupo etilo, no es ilógico pensar que el orbital-pi se extiende parcialmente dentro del grupo CH₃. Cálculos_CNDO (32), muestran tal extensión como un cambio en el orbital-pi_ocupado más alto en el etilbenceno. El tamaño del cambio depende_de la conformación. Este cambio, se aprecia en un corto porcenta-je para el caso del grupo etilo en el plano del benceno, mientras_que es bastante grande, cuando el grupo se gira fuera del plano.

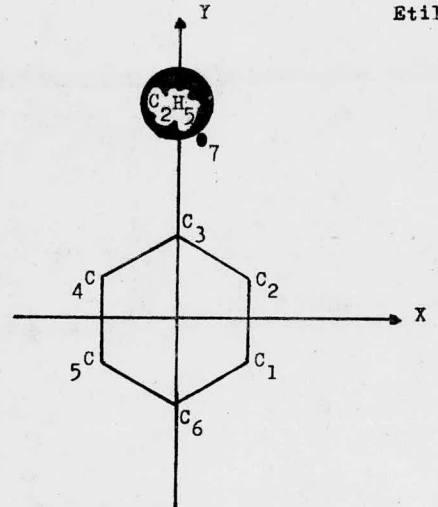
La discusión anterior sugiere, que el orbital-pi del grupo etilo, es un poco más difuso y centrado más lejos del anillo que _ el orbital-pi del metilo. Esto llevaría a una superposición mejor con el anillo, lo cual significa, un valor numéricamente menor para las integrales de unión y repulsión $\chi_{\chi\chi}$ $\chi_{\chi_{c}}$.

El efecto sobre $\Delta W(X)$ no es muy obvio de los cambios de $_$ X. Variaciones en este sentido no fueron capaces de bajar el potencial de ionización y el cambio batocrómico al mismo tiempo.

El último punto que se debe discutir, es que la barrera rotatoria del etilbenceno, es muy pequeña. Experimentalmente, se ha estimado en alrededor de 1.3 kcal/mol (33). Cálculos CNDO (32) y ab-initio (34) predicen una barrera de alrededor de 2 kcal/mol y la conformación con el etilo fuera del plano del benceno, como la más estable. En esta conformación, la separación simétrica estrica ta de sigma y pi, se destruye. No es sorprendente entonces, que si la parametrización no toma en cuenta la mezcla sigma-pi, no pue da reproducir completamente los resultados experimentales.

III .- GEOMETRIA

En la parametrización de los grupos metoxi y etilo se usaron, como base, los correspondientes bencen-derivados. Las distan
cias y ángulos empleados para estas moléculas fueron los mismos _
que en el caso del tolueno y fenol (Figura No 4). Esta aproxima ción es bastante lógica, ya que ni el parámetro del grupo hidroxi (19), ni el del grupo metilo (15), dependen de la distancia.
Una variación en la distancia anillo-sustituyente, podría afectar_
sólo las integrales coulómbicas entre el sustituyente y su vecino
no-cercano, con muy poca influencia sobre los resultados finales.
La Figura No 4 muestra los valores numéricos usados para las dis tancias y ángulos de las moléculas de etilbenceno y anisol.



Etilbenceno

Distancia Entre Atomos:

$$c_1-c_2=c_2-c_3=\dots=c_6-c_1=1.397$$
 A.
 $c_3-s_7=1.68$ A.

Angulos:

$$c_1 c_2 - c_2 c_3 = 120^{\circ}$$

 $c_2 c_3 - c_3 c_7 = 120^{\circ}$

Anisol

Distancia Entre Atomos:

$$c_1-c_2 = 1.397 \text{ A}$$
 $c_3-e_7 = 1.36 \text{ A}$

Angulos:

$$c_1 c_2 - c_2 c_3 = 120^{\circ}$$

 $c_2 c_3 - c_3 c_7 = 120^{\circ}$

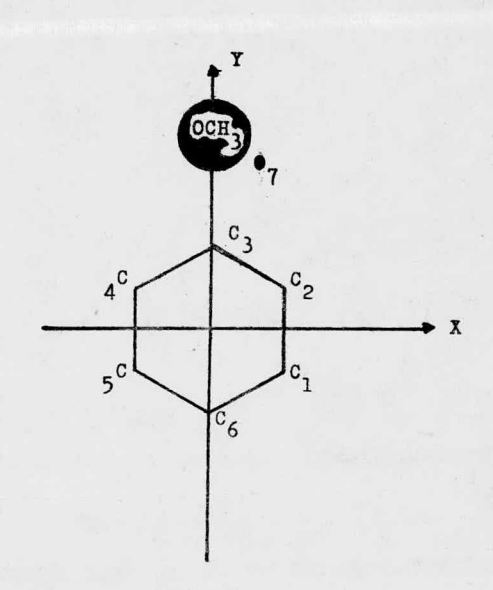


Figura No 4

IV .- RESULTADOS Y DISCUSION

El parámetro Wx fue optimizado ajustando al primer poten - cial de ionización y a la primera transición, en el caso de anisol y etilbenceno, a datos experimentales. Los parámetros restantes (de -OH y -CH₃) conservaron sus valores, en concordancia con el _ análisis anterior.

Los nuevos parámetros son:

$$^{\text{W}}$$
OCH₃ = -10.422 eV y $^{\text{W}}$ C₂H₅ = -11.184 eV

Como se menciona en la sección II, los resultados para el grupo etilo, no son enteramente satisfactorios, pero se dan como_información.

En las tablas reportadas en este trabajo, se incluyen moléculas tratadas con anterioridad, para simplificar la discusión.

IV. i) POTENCIALES DE IONIZACION

Los potenciales de ionización, calculados y experimenta - les, se presentan en la Tabla 3. Cuando Roos y Skancke (4) inicia ron este método, sólo se contaba con los potenciales de ionización adiabáticos para las moléculas de interés. En los siguientes trabajos (15-26), esta práctica se continuó por coherencia.

Experimentalmente, la diferencia entre los potenciales de ionización adiabáticos y verticales, es del orden de 0.2 a 0.4 eV. Los valores teóricos reportados aquí, se obtuvieron de la manera usual, como los de la energía del orbital en cuestión (con el signo opuesto), de acuerdo con el teorema de Koopmans. Para la comparación teórico-práctica, se utilizaron los potenciales de ioniza - ción adiabáticos y/o verticales, disminuyendo éstos en las dife - rencias antes mencionadas.

En la parametrización, se usó para el anisol, el valor del

método espectroscópico fotoelectrónico (adiabático) dado por Turner (35), que es la misma referencia usada para el grupo hidro xi (19). Para el etilbenceno, se utilizó el valor espectroscópi - co adiabático reportado por Hammond y col. (36).

El nivel degenerado e_{lg} del benceno, se divide en b_l y a₂, en la simetría C_{2v} (monosustitución y para-disustitución). El _ (los) orbital (es) sustituido tiene una simetría b_l y puede mez -- clarse directamente con el orbital b_l del nivel e_{lg}, y también, en corta extensión, con el orbital más profundo a_{2u}, el cual también_ se transforma en b_l, en la simetría C_v.

El orbital a₂ que no puede mezclarse directamente con el — orbital sustituyente, puede afectarse menos por la sustitución que el orbital b₁. La Tabla muestra una gran concordancia entre los — datos calculados y los experimentales, para el primer potencial de ionización b₁. El segundo potencial de ionización, que corresponde al orbital a₂, requiere un comentario. Los grupos -CH₃, -C₂H₅, -OH y -OCH₃, tienen poco efecto sobre el nivel a₂ como se esperaba y la concordancia entre la teoría y los resultados experimentales, es también bastante buena para esta banda.

Solamente en el caso de la bromo-sustitución, el método falla para mostrar una estabilización bastante fuerte en el nivel _a_, experimentalmente observada. En todos los otros casos, este _nivel permanece muy cerca del nivel ele del benceno.

Tabla 3. Comparación de P.I. Calculados y Experimentales (eV).

Molécula	Calculado	Simetría	Observado	
		(para C _{2v})	Adiabático	Vertical
Bencenoa	9.25	a ₂ ,b ₁	9.25 f	9.40 ^h
Fenol	8.45	b ₁	8.46 ^f	8.75 ^h
	9.14	a. ₂	9.34 ^f	9.45 ^h
Anisol	8.20	b ₁	8.20 ^f	8.54 ^h
	9.12	a ₂	9.10 ^f	9•37 ^h
1,2-Dimetoxibenceno	7.77	2		,,,,,
	8.53			
1,3-Dimetoxibenceno	7.88			
	8.34			
1,4-Dimetoxibenceno	7.61	b ₁		7.90 ^h
	9.00	a.,		9.19 ^h
1,4-Bromohidroxibenceno ^c	8.43	b ₁		8.52 ^h
1,4-Bromometoxibenceno	8.22	b ₁		8.49 ^h
	9.06	a ₂	Carling at the contract of the	9.65 ^h
p-Meoxibenzaldehido	8.55	b ₁		8.87 ^h
	9.66	a ₂		9.77 ^h
	9.98	n		
Benzaldehido	9.44	b	9.46 ^f	9.80h
	9.71	a ₂		~10.00 ^h *
Tolueno	8.84	b ₁	8.84 ^f	8.9 h
	9.19	a. ₂	9.15 ^f	9.13 ^h
Etilbenceno	8.77	b ₁	8.77 ^g	
	9.18	a ₂		
1,2-Dietilbenceno	8.50	-		8.91 ⁱ
	8.92			
1,3-Dietilbenceno	8.54			8.99i
	8.88			
1,4-Dietilbenceno	8.36	b ₁		8.93 ⁱ
	9.11	a ₂		

aRef. 4. BRef. 19. CRef. 21. Ref. 26. Ref. 15. Ref. 35.

(continuación de notaciones sobre la Tabla 3)

Ref. 36. hRef. 39, (Datos tomados del Potencial de Ionización _ por el método de Impacto Electrónico).

*Se estimaron de la primera banda en la Figura 11, Ref. 38.

Las Referencias 35 y 38 corresponden a datos espectroscópicos fotoelectrónicos.

IV. ii) ESPECTRO ELECTRONICO

Los espectros, calculado y observado, se resumen en la Tabla 4. En los casos donde se usó la compilación de Petruska (37) de los espectros de bencenos sustituidos para la comparación de los valores teóricos y experimentales, se supuso que los cambios de los valores teóricos y experimentales, se supuso que los cambios de los bandas o-o dados por Petruska. Casi todos los espectros experimentales fueron determinados en solución. Desafortunadamente, esto hace la comparación de los efectos de los grupos hidroxi y metoxi, bastante más difícil que para el primer grupo, puesto que existe la formación de los puentes hidrógeno soluto-soluto, y cuando el solvente es al cohol, soluto-solvente.

Es muy probable que los cambios por solvente (incluyendo _ efectos soluto-soluto), sean diferentes para los dos grupos. Las diferencias observadas son muy cercanas a las experimentales, en _

cuanto a exactitud. Por estas razones, la evaluación de los resultados para las transiciones electrónicas, no es muy clara como para el caso de los potenciales de ionización en donde los valores experimentales fueron tomados en fase de vapor.

La posición calculada de las bandas está de acuerdo con la observada. Sin embargo, los grupos metoxi, producen siempre un _cambio batocrómico mayor que para el grupo hidroxi, mientras que _los datos experimentales, no muestran una tendencia definida sobre este punto.

La concordancia de las variaciones en las intensidades de las bandas entre los valores experimentales y teóricos es bastante aceptable.

El grupo metoxi, muestra intensificación de las bandas ¹L_b y ¹L_a y decremento de la intensidad de la banda ¹B, comparada con . el grupo hidroxi.

Teóricos		decimal and a second second	Transicion			Calc	utadas y Obs	ervadas	en kK	
	Compila	ción de Pe	etruska (37)	Obser	vados	De BROKENSKE		ali distanja aportona arabas		Description (
V _{máx} -ΔV f _{calc}	-Avb	£	solv.	√ máx	int.	ν máx	int.	∼ máx	int.	
			Bence	eno ^C						
39.17 0.0 50.62 0.0 56.14 1.19				39.4 49.8 56.3		g 39.4 49.5 54.4	0.10	h 39.5 50.6 55.9		i j j
			Fenc	, d						
37.89 1.28 0.013 47.07 3.55 0.158 53.69 2.45 0.830 54.72 1.42 1.036	1.74(1.80) 2.10 1.70	-(0.017)	vap.(iso)	37.02 46.94 54.04 55.90	0.636	g 37.2 47.6	2 log = 3.34 3.78	k 36.7 47.0 52.7	log = 3.: 3.: 4.:	78
			Anis	lo:						
37.38 1.79 0.019 45.72 4.90 0.212 52.22 3.92 0.576 54.40 1.74 0.922	1.85 3.40	0.020	hex	37.02		g 36.9 45.5	0 a = 2200g	m 36.90		n
			1,2-Dimet	ovi bence	**					
36.18 2.99 0.024 43.04 7.58 0.130 50.53 5.61 0.946 50.72 5.42 0.542	2.40	0.028	hex		a=3920					
			1,3-Dimete	oxi bence	no.					
36.40 2.77 0.015 44.18 6.44 0.081 49.62 6.52 0.962 49.82 6.32 0.511	2.50	0.024	hex	36.64	10					

.

.

The second secon		
mahaa A	(Manual)	
Tabla 4.	(Cont.)	ı
The state of the s		,

			A STATE OF THE PARTY OF THE PAR	東京の日本教育とは中央社会の日本学の中の日	And the state of t	Company of the special	and which common the same of	energia de la composition della composition dell
			1,4-Dime	toxibenceno				
35.62 3.55 0.054	4.50	0.032		34.60 a				
43.38 7.24 0.337				44.35				
52.21 3.83 0.650				44.32	8870			
54.50 1.54 1.010								
					đ			
36.93 2.24 0.017	0.70		1,2-Dihic	lroxibencen	ວີ			
	2.70	0.026	hex	36.05	n			
44.79 5.83 0.105	2.80							
52.00 3.78 1.061								
52.36 3.79 0.753								
		The real	1 2-04644	roxibencen	d			
37.08 2.09 0.011	2.60	0.022	1 9 DEDTITIO					
45.59 5.03 0.067	3.80	0.022	пех	36.36	12			
51.53 4.61 1.088	3.00							
51.95 4.19 0.736								
21.92 4.19 0.736								
06 54 0 65 5 5 5			1,4-Dihid	roxibencen	o ^a			
36.54 2.63 0.041	5.40	0.032	hex	34.07 as	2810 n			
44.97 5.65 0.275				44.54	5180			
53.35 2.79 0.828				11027	3100			
54.66 1.48 1.064								
			D. Droom om o					
37.26 1.91 0.000			Ppromowe	toxibencend				
43.79 6783 0.342	7			35.46 a=	=1600 n	35.46	a = 175	50 m
51.35 4.79 0.708				44.15	14200	44.00		500
54.46 1.68 0.935					144			

						STATE OF THE PROPERTY OF THE P	CONCERNS AND COMMUNICATION OF THE PERSON OF THE
		D⊷R	romohidroxiben	cence			
37.6 1.57	0.001		- omonia di Oktodi		a=1930	m 25 50	n-4750
44.9 5.72	0.31			44.25	12100	n 35.52	
52.5 3.64	0.88			44.23	12100	44.04	10000
54.6 1.54	1.06						
		Down	etoxibenzaldeh	140			
31.37	0.0	F	- coxtominat dell'	140			
35.91	0.017		4				
40.12	0.504						
and the second s	0.422						
52.22	0.259						
Control of the Contro	0.719						
	0.102						
			Tolueno				
38.84 0.33	0.011 0.61(0.	61) -(0.003)		5			
49.95 0.67		-(00000)	, vap.(130)				
55.85 0.29							
55.65 0.49							
			Etilbenceno				
38.73 0.44	0.012 0.55	0.003	iso				
49.68 0.94	0.032						
55.46 0.68	1.203						
55.69 0.45	1.119						
		1.2-	Dietilbenceno				
38.41 0.76	0.014 1.03	0.003	iso				
48.81 1.81	0.032						
54.86 1.28	1.209						
54.97 1.17	1.103						

Tabla 4.	(Cont.)
Tabla 4.	(CONL.

49.08 54.81	1.54	1.229	1.06	0.003	1,3-Dietilbenceno iso
38.07 48.98	1.10 1.64 0.99	1.203	1.25	0.005	1,4-Dietilbenceno iso

a Cambio de frecuencia relativo a la banda calculada para el benceno.

^bCambio de frecuencia relativo a la banda observada para el benceno.

CRef. 4. dRef.19 eRef. 21. fRef. 15. gRef. 40, en vapor. hRef. 41, en hexano. Ref. 42, en vapor. Ref. 43, en vapor. Ref. 44, ciclohexano. Ref. 45, ciclohexano. Ref. 46.

V .- CONCLUSIONES

De acuerdo con los análisis realizados en las secciones II y IV, así como de la comparación obtenida entre los resultados experimentales y teóricos de esta última sección, se puede inferir, que la reoptimización de Wx para el cambio de -OH a -OCH3 y de -CH3 a -C2H5, da excelentes resultados para la predicción del primer potencial de ionización, mientras que, para el caso del espectro electrónico, los resultados no fueron tan satisfactorios. Es ta supuesta incompatibilidad del método, puede atribuirse a la limitación (debida a la falta de resultados experimentales) de tener que comparar los espectros teóricos, (que corresponden a la fase de vapor) con los espectros experimentales obtenidos en solu-ción. Este problema es particularmente serio para el caso del -OH y -OCH3.

Para los sustituyentes $-CH_3$ y $-C_2H_5$, experimentalmente se

ha encontrado, que su intercambio en una molécula (benceno, por ___ejemplo) produce resultados muy semejantes, y aparentemente, el método no es capaz de reproducir diferencias tan pequeñas, debido a las razones expuestas al final de la sección II. A pesar de esto, la parametrización de los grupos -C2H5 y -CCH3, proporciona una __buena ilustración de la consistencia de las aproximaciones básicas del método, consistencia que podrá ser mejor constatada, cuando se obtengan los valores experimentales de los espectros, en fase va-por, de moléculas que contengan estos grupos.

VI .- BIBLIOGRAFIA

- 1.- Pariser, R. and Parr, R.G.; J. Chem. Phys.; 21, 466-71, (1953).
- 2.- Ibid, 767-76.
- 3.- Pople, J.A.; Trans. Faraday Soc.; 49, 1375-85, (1953).
- 4.- Roos, B. and Skancke, P.N.; Acta Chem. Scand.; <u>21</u>, 233-42, (1967)
- 5.- Clar, E.; Aromatsche Kchlenwasserstoffe, Julius Springer, Berlin; (1952), 2nd. Ed.
- 6.- Platt, J.R.; J. Chem. Phys.; 17, 484, (1949).
- 8.- Sklar, A.L.; J. Chem. Phys.; 7, 339, 353, (1937); 10, 135, ______ (1942).
- 10.- Platt, J.R.; J. Chem. Phys.; 19, 263, (1951).
- 11.- Jones, L.C. and Taylor, L.W.; Anal. Chem.; 27, 235, (1955).
- 12.- Pickett, L.W., Muntz, M., and McPherson, E.M., J. Am. Chem. ______ Soc.; 73, 4862, (1951).
- 13.- Jaffé, H. and Orchin, M.

Theory and Applications of Ultraviolet Spectroscopy.

- a) pp. 175-7 b) pp. 177-8
- John, Wiley and Sons, Inc.

N.Y. (1966).

14.- Fischer-Hjalmars, I.; J. Chem. Phys.; 42, 1962, (1965).

- 15.- Roos, B.; Acta Chem. Scand.; 21, 2318, (1967).
- 17.- Grabe, B.; Acta Chem. Scand.; 22, 2237, (1968).
- 18.- Jensen, H. and Skacke, P.N.; Acta Chem. Scand.; 22, 2899, ______ (1968).
- 19.- Höjer, G.; Acta Chem. Scand.; 23, 2589, (1969).
- 20.- Skancke, A. and Skancke, P.N.; Acta Chem. Scand.; <u>24</u>, 23, (1970).
- 21.- Seybold, P.G. and Fischer-Hjalmars, I.; Acta Chem. Scand.; <u>24,</u> 1373, (1970).
- 22.- Gropen, O. and, Skancke, P.N.; Acta Chem. Scand.; 23, 2685, ____ (1969).
- 23.- Gropen, O. and Skancke, P.N.; Acta Chem. Scand.; 24, 1768, _____ (1970).
- 24.- Sundbom, M.; Acta Chem. Scand.; 25, 487, (1971).
- 25.- Fischer-Hjalmars, I. and Meza, S.; Acta Chem. Scand.; <u>26</u>, 2991, (1972).
- 26.- Höjer, G., Meza, S. and, Ruiz, M.E.; Acta Chem. Scand.; <u>27</u>, _____ 1860, (1973).
- 27.- Roos, B.; Acta Chem. Scand.; 20, 1673, (1966).
- 28.- Ibid, 21, 1855, (1967).
- 29.- Roos, B. and Sundbom, M.; J. Mol. Spectrosc.; 36, 8, (1970).
- 30.- Henriksson, A., Roos, B. and Sundbom, M.; Theoret. Chim. Acta; 27, 303, (1972).
- 31.- Blomquist, J., Nordén, B. and Sundbom, M.; Theoret. Chim. Acta; 28, 313, (1973).

- 32.- Resultados aun no publicados.

- 35.- Turner, D.W.; Advan. Phys. Org. Chem.; 4, 31, (1966).
- 36.- Hammond, V.J., Price, W.C., Teegan, J.P. and Walsh, A.D.; Disc. Farad. Soc.; 2, 52, (1950).
- 37.- Petruska, J.; J. Chem. Phys.; 34, 1120, (1961).
- 39.- Field, F.H. and Franklin, J.L.; J. Chem. Phys.; 22, 1895, (1954).
- 40.- Kimura, K. and Nagakura, S.; Mol. Phys.; 9, 117, (1965).
- 41.- Klevens, H.B. and Platt, J.R.; ONR Technical Report (1953-54) _
 Part. I, pp. 145-70, Laboratory of Molecular Structure and Spectra, Department of Physics, The University of Chicago.
- 42.- Sponer, H., Nordheim, G., Sklar, A.L. and Teller, E.; J. Chem. Phys.; 7, 207, (1939).
- 43.- Potts, W.J.; J. Chem. Phys.; 23, 73, (1955).
- 45.- Forbes, W.F.; Can. J. Chem.; 39, 1131, (1961).

VI. i) OBRAS CONSULTADAS

1.- Jaffé, H. and Orchin, M.
Theory an Applications of Ultraviolet Spectroscopy.
John Wiley and Sons, Inc.
N.Y. (1966).

2.- Levine, I.N.Quantum Chemistry.2nd. Ed.; Vol. IAllyn and Bacon, Inc.

Boston, (1974).

3.- Cotton, F.A.Chemical Applications of Grup Theory.2nd. Ed.John Wiley and Sons, Inc.N.Y. (1970).

4.- Gould, E.S.

Mechanism and Structure in Organic Chemistry.

Holt, Reinehart and Winston.

ESTA TESIS SE IMPRIMIO POR COMPUTADORA EN LOS TALLERES DE TESIS DE GUADALAJARA, S.A. FRENTE A LA FACULTAD DE MEDICINA MEDICINA # 25. CIUDAD UNIVERSITARIA.

TELEFONOS:

550-72-57

548-62-15

550-87-43

548-62-29

548-33-44

548-87-46